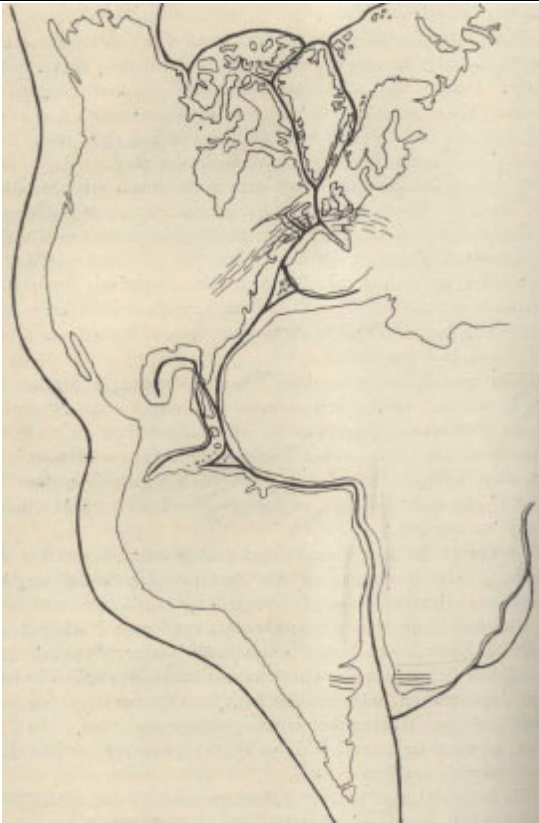
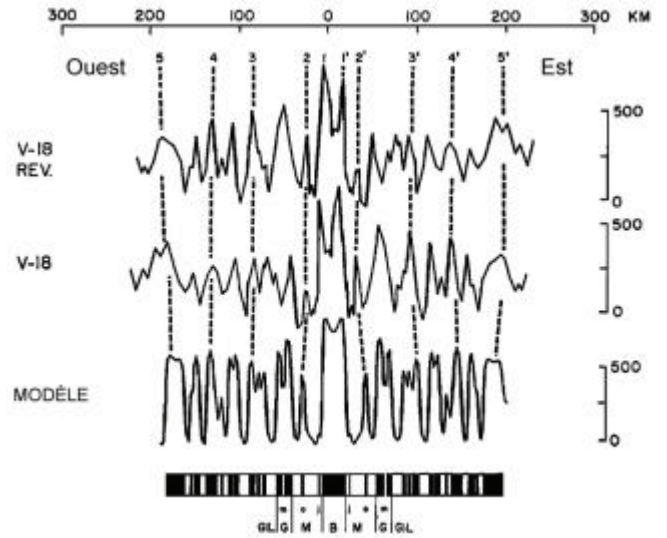


Document 1 : Carte bathymétrique de l'océan Atlantique. L'encart montre la répartition et la profondeur des séismes.



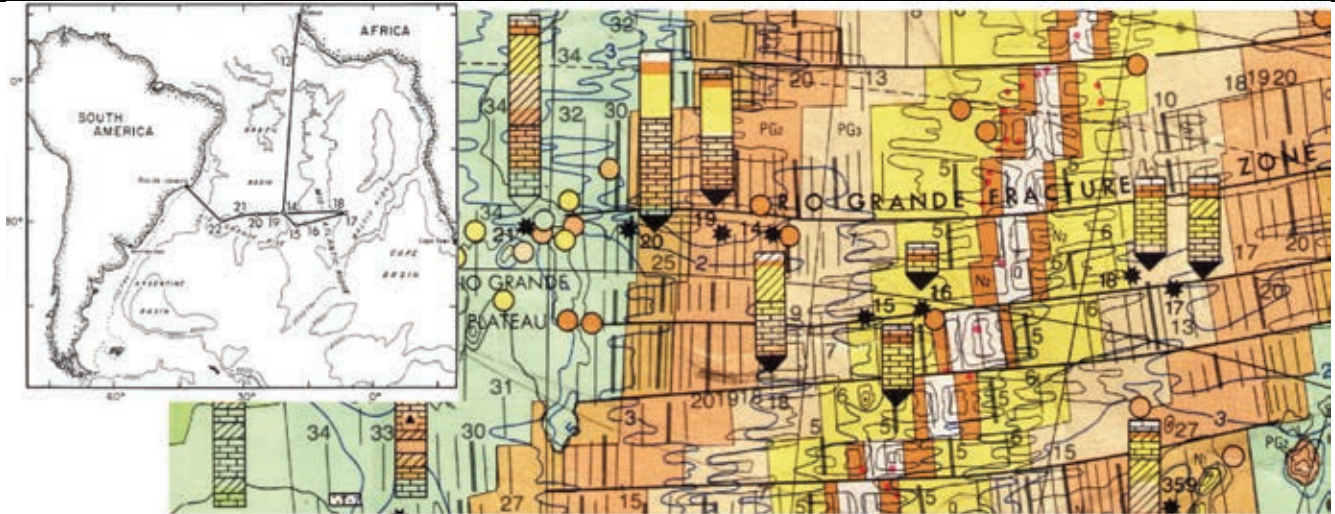
Document 2 : Reconstruction des continents autour de l'Atlantique (Wegener, 1915).



Document 3 : Profil magnétique mesuré à travers la dorsale médio-atlantique (V-18) présenté au-dessous de son image miroir par rapport à l'axe de la dorsale.

En bas, profil théorique d'anomalie magnétique calculé à partir du modèle d'inversion du champ magnétique.

Échelle verticale en nanoTesla (d'après Dickson et al, 1968).



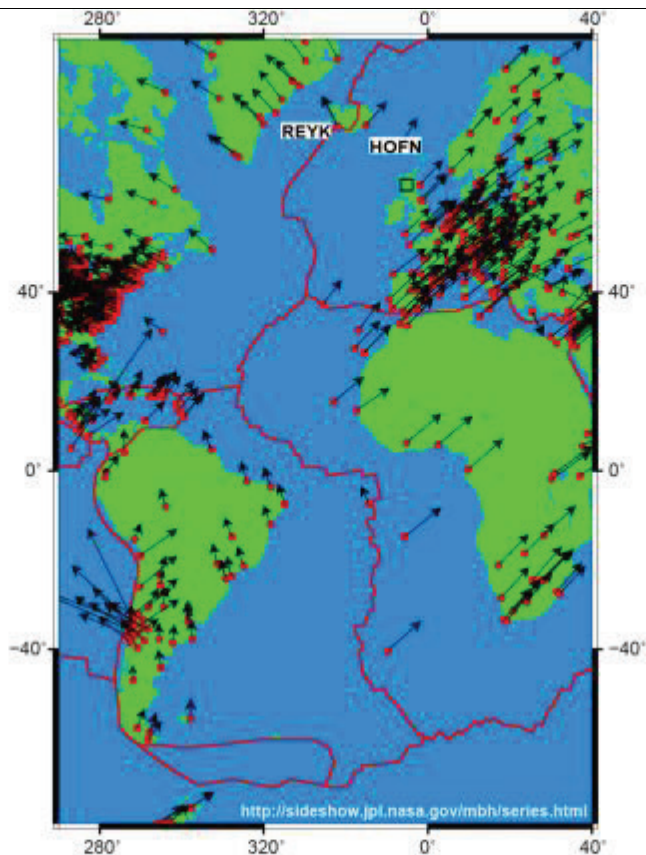
140 * Localisation et numéro de forage

- Argiles rouges des grands fonds
- Calcaire
- Cendres volcaniques
- Lacune d'observation
- Sédiments détritiques
- Sapropèles
- Evaporites
- Sédiments siliceux
- ▼ Socle basaltique

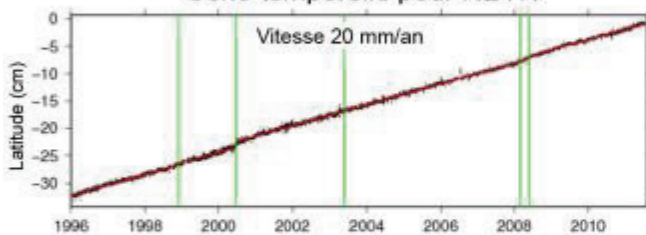
Forage	Latitude n° °S	Longitude °W	Profondeur d'eau m	Distance à l'axe km	Age Ma
14	-28,33	-20,94	4343	745	40
15	-30,89	-17,98	3927	405	24
16	-30,34	-15,71	3527	182	11
17	-28,05	-6,60	4265	711	33
18	-27,98	-8,01	4018	507	26
19	-28,53	-23,68	4677	1015	49
20	-28,53	-26,84	4500	1315	67

Document 4 : Localisation des forages DSDP (Deep Sea Drilling Program) réalisés en 1968 dans l'Atlantique sud (extrait de la carte UNESCO-CCGM de l'océan Atlantique). Le tableau indique la distance des forages à l'axe de la dorsale et l'âge des sédiments les plus anciens au niveau de chaque forage (en million d'années).

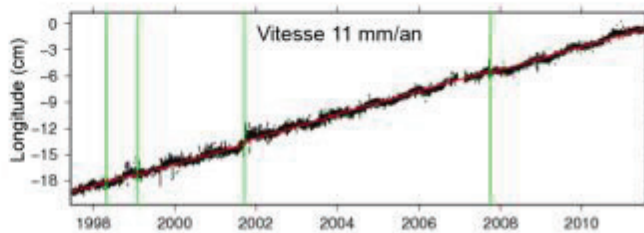
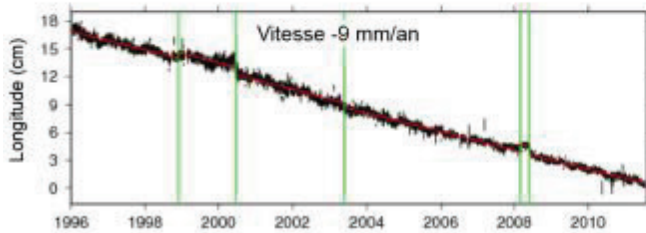
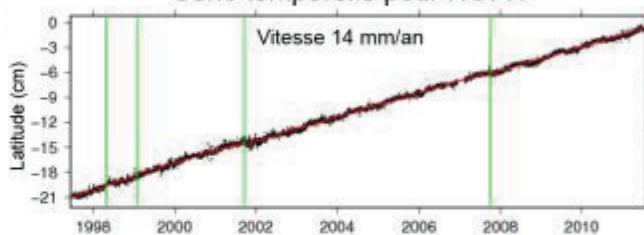
Les colonnes représentent la lithologie des forages. La hauteur est proportionnelle à l'épaisseur de la couche forée.



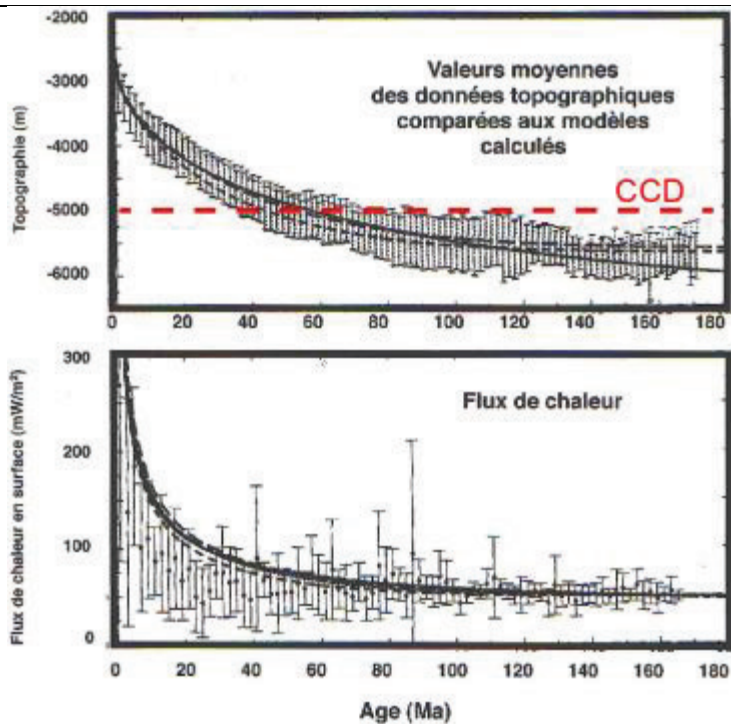
Série temporelle pour REYK



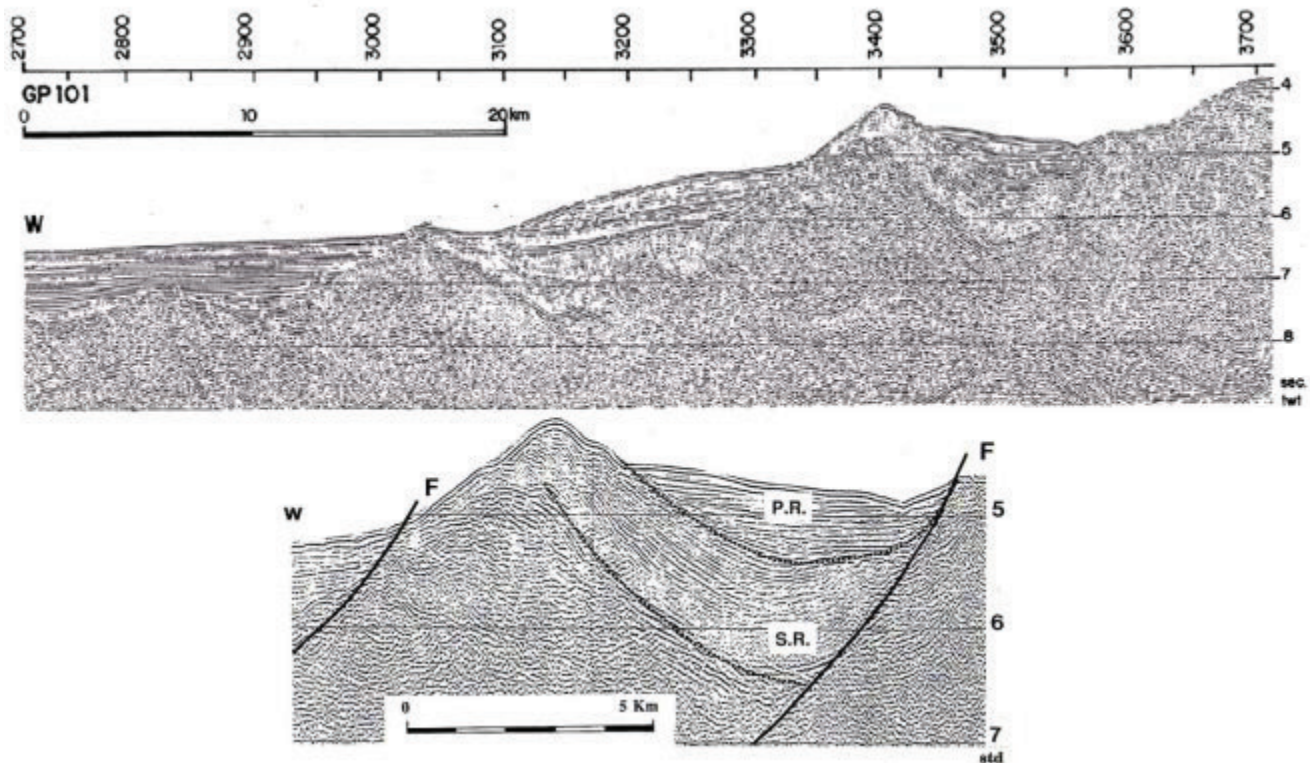
Série temporelle pour HOFN



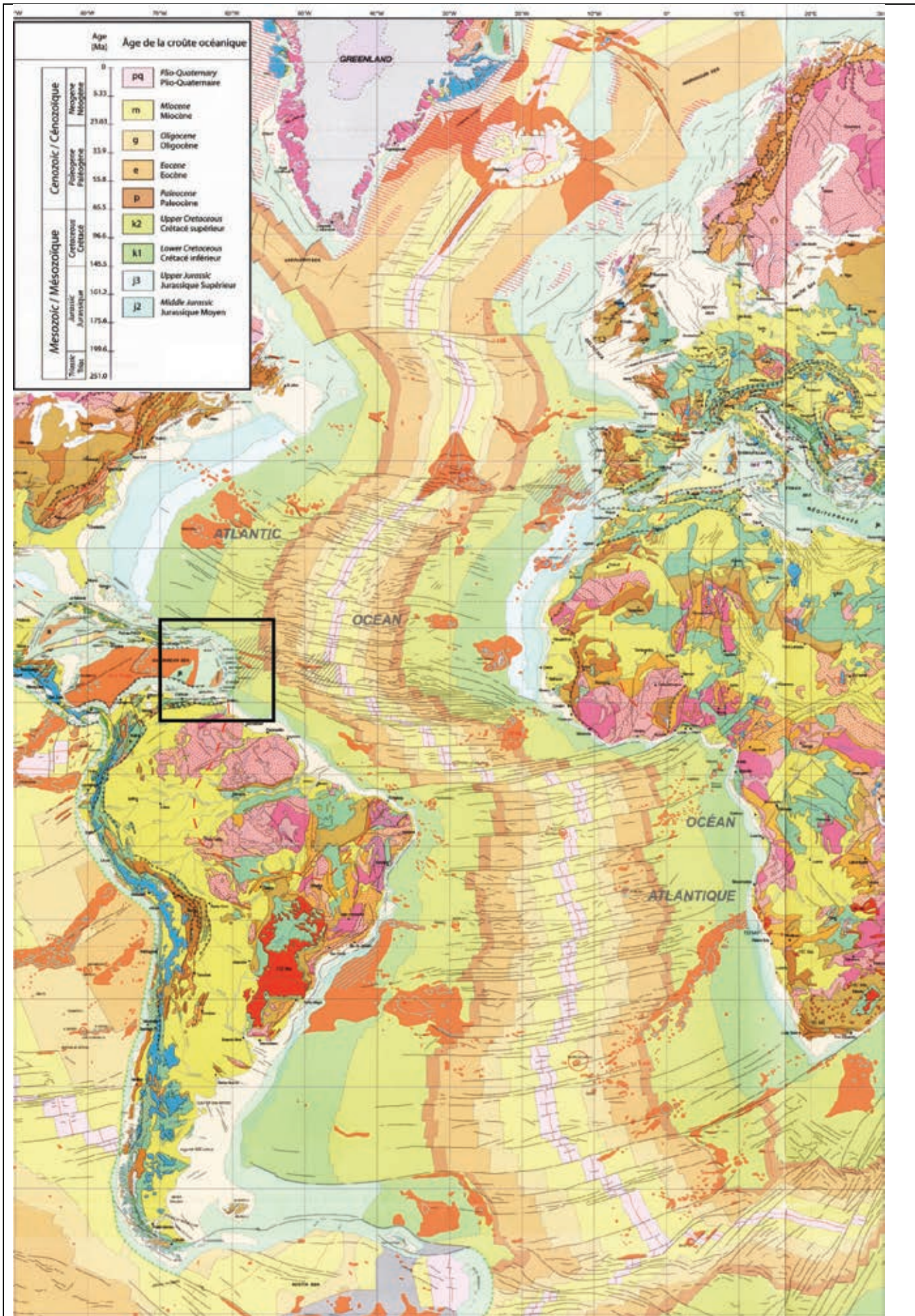
Document 5 : Séries temporelles GPS mesurées au niveau de deux stations permanentes situées en Islande sur la plaque Amérique du nord (REYK) et sur la plaque Eurasie (HOFN), dans le référentiel IGS08.



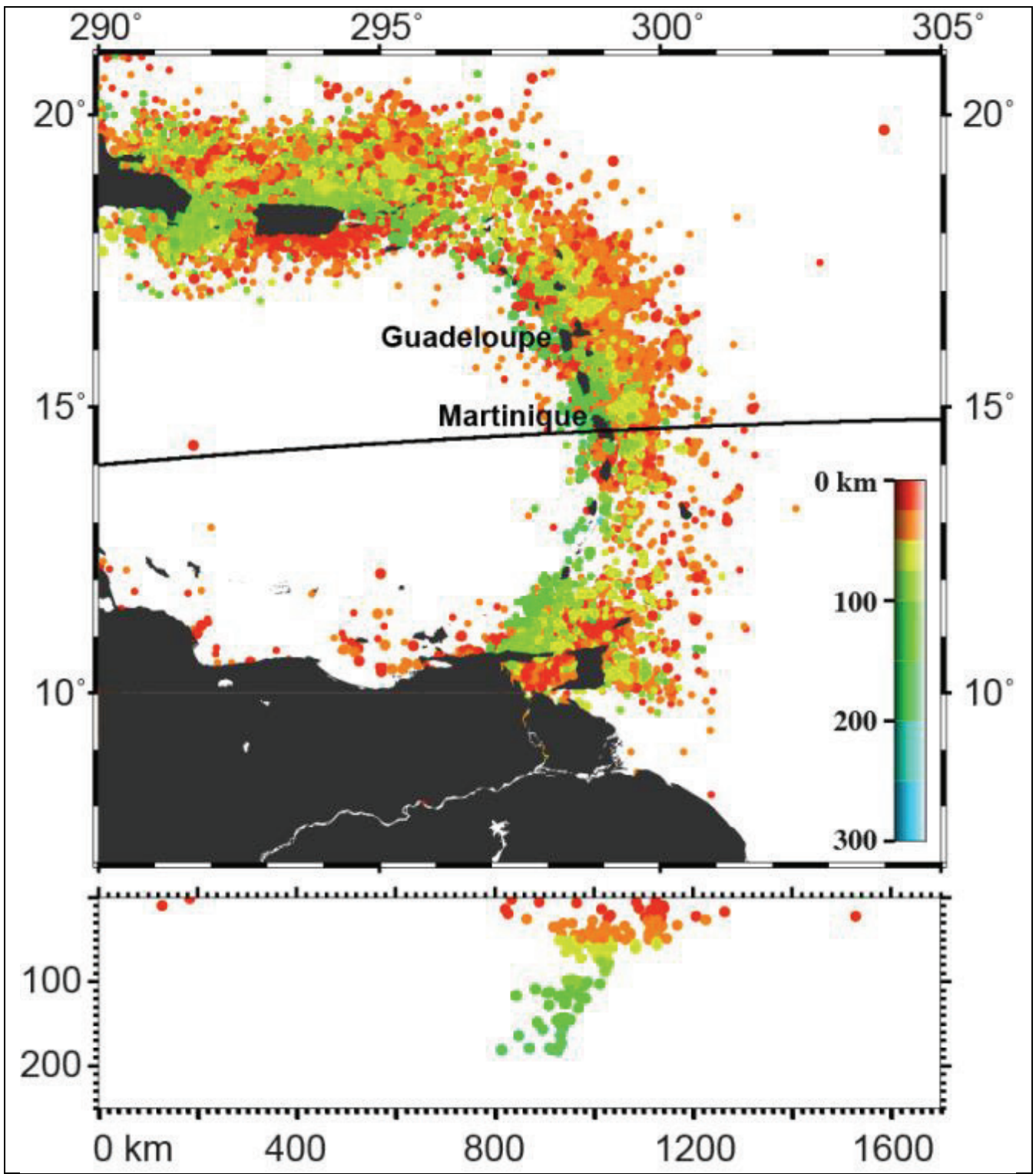
Document 6 : Évolution de la topographie et du flux de chaleur en fonction de l'âge de la lithosphère océanique (d'après Doin et Fleitout, 1996). La profondeur de la CCD (de l'anglais *Carbonats Compensation Depth* dans l'Atlantique est indiquée.



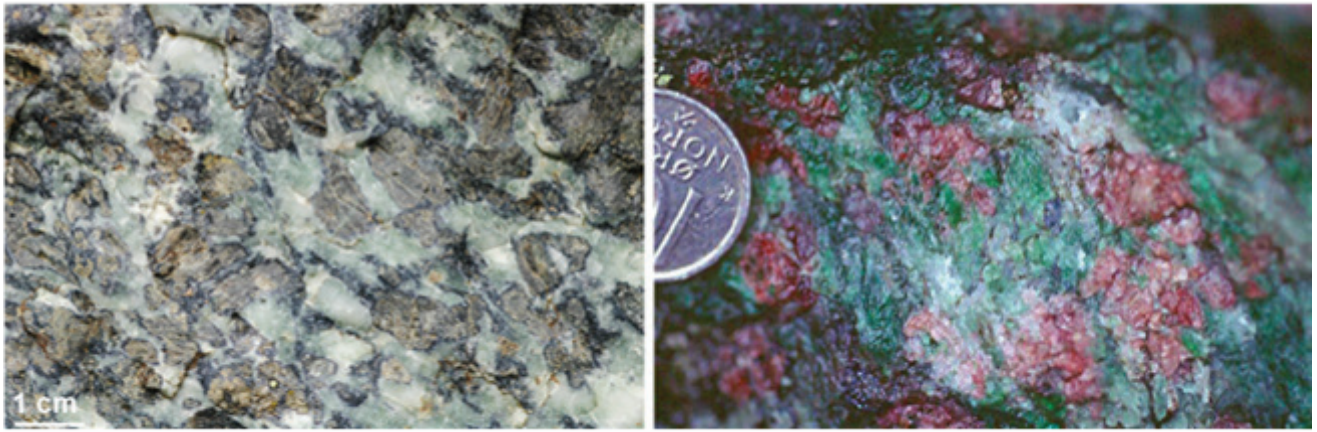
Document 7 : Profil de sismique réflexion du sommet de la marge de Galice au large de l'Espagne et détail du profil en bas. std : secondes, temps double (in Boillot et Coulon, 1998)



Document 8 : Extrait de la carte géologique du monde avec l'âge du plancher océanique.

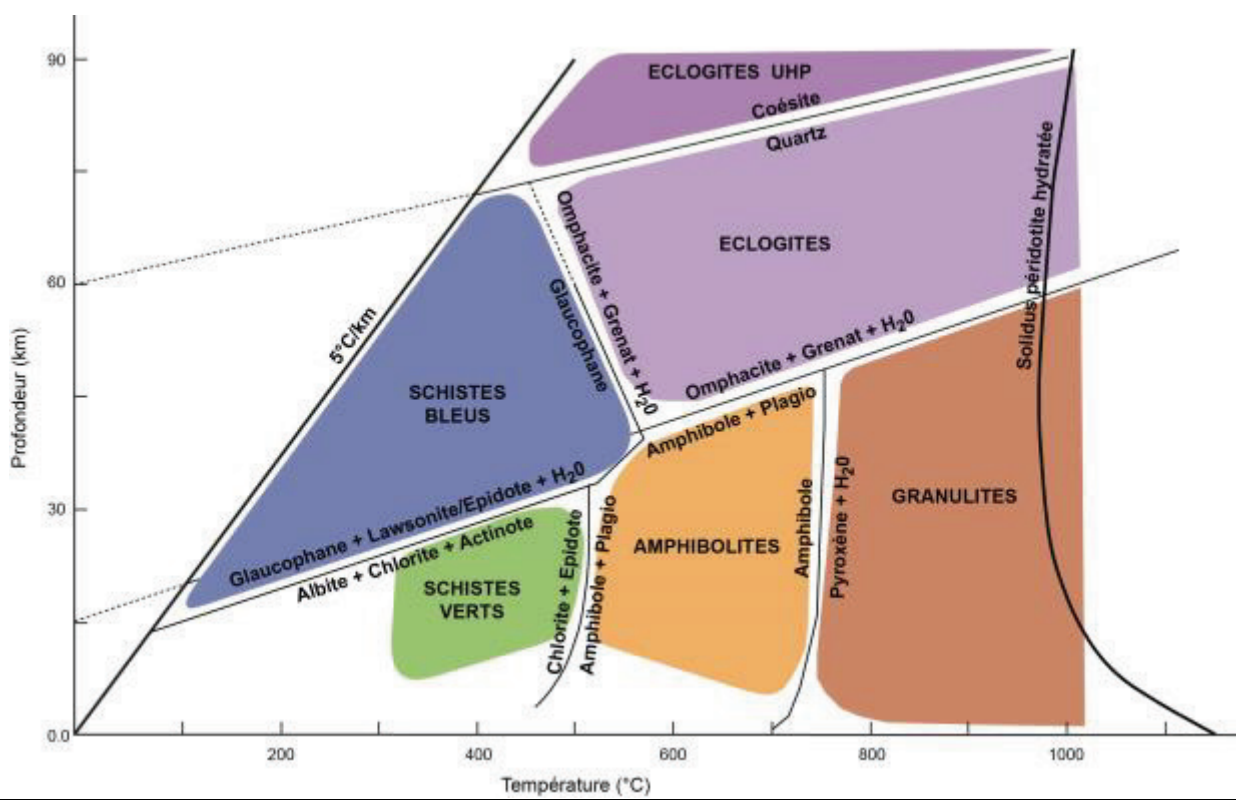


Document 9 : Répartition et profondeur des séismes aux Antilles (localisation sur le document 8).

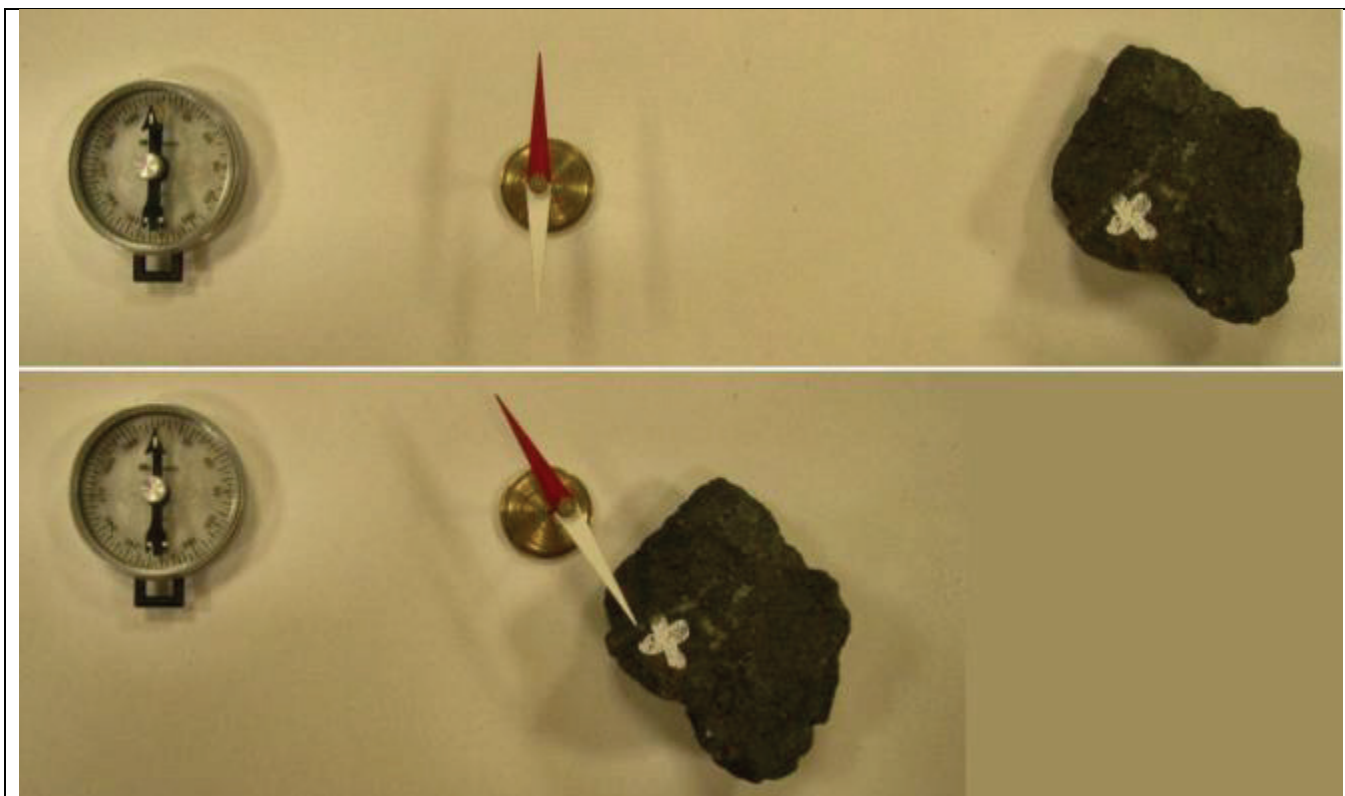


Document 10a : Échantillons de roches métamorphiques :

- à gauche roche à pyroxène, plagioclase et amphibole sodique
- à droite roche à grenat et pyroxène sodique



Document 10b : Faciès du métamorphisme, domaines de stabilité de quelques associations minérales et solidus hydraté d'une péridotite.

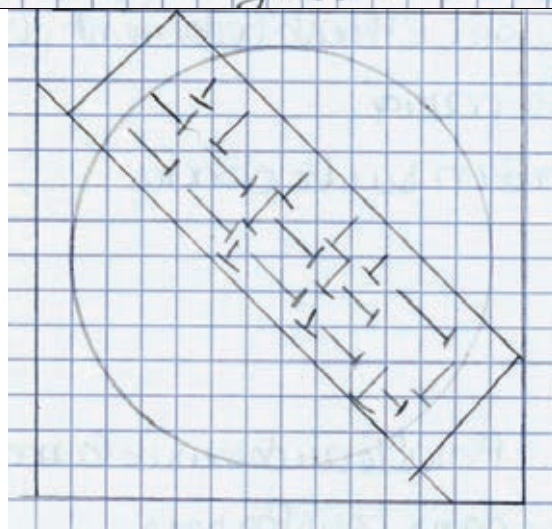
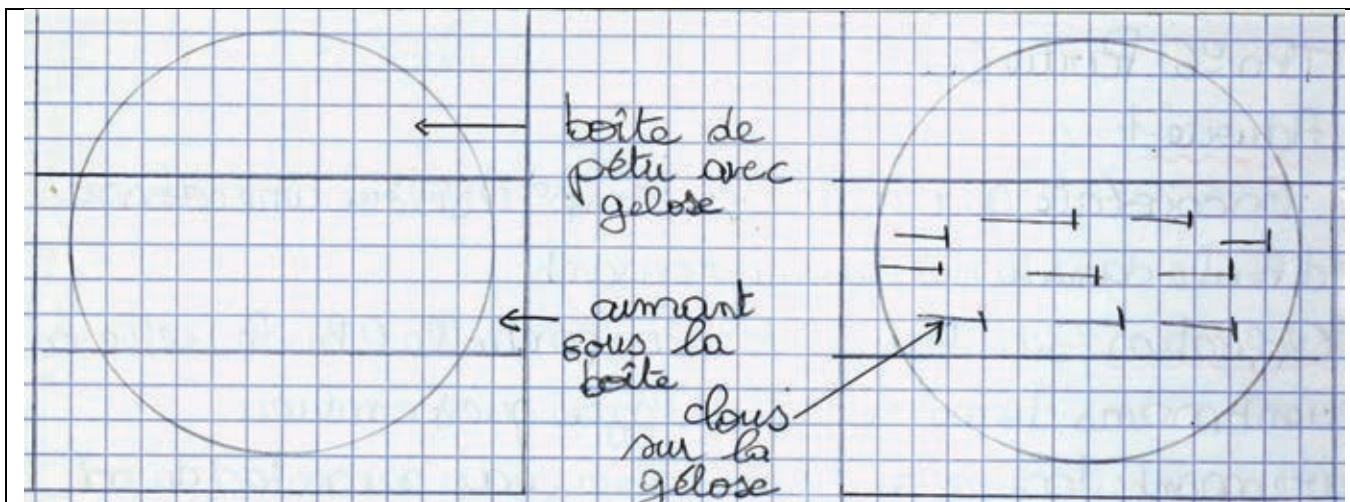


Document 11 : Mise en évidence de la rémanence magnétique dans un basalte.



La pâte microlitique de ce basalte contient de nombreux minéraux opaques de magnétite

Document 12 : Lame mince d'un basalte océanique au microscope en lumière polarisée analysée (LPA).



On constate que les dures s'orientent de façon parallèle à l'aimant

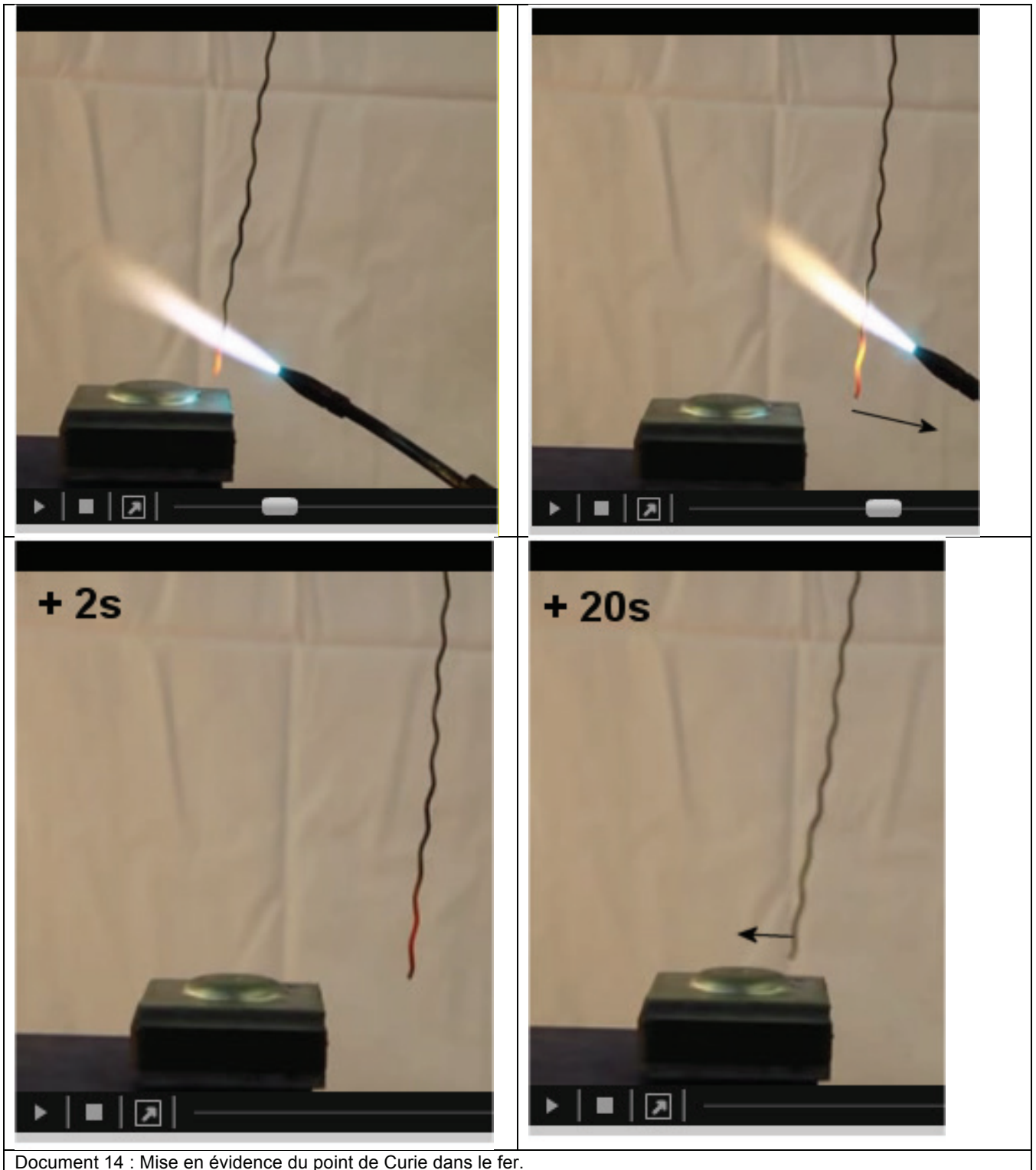
explication

En fait ils s'orientent suivant le champ magnétique créé par l'aimant situé sous la boîte de pétri.

A nouveau dans cette nouvelle manip les dures prennent bien l'orientation du champ magnétique de l'aimant.

L'aimant correspondait au champ magnétique terrestre. Les dures représentaient les éléments ferro-magnétiques (pyroxène, olivine) contenu dans le basalte.

La gelose correspondait au verre du basalte



Document 14 : Mise en évidence du point de Curie dans le fer.